

## ЭКСПЕРИМЕНТАЛЬНЫЙ ПОЛЕВОЙ ТРАНЗИСТОР НА ОСНОВЕ КАРБИДА КРЕМНИЯ ПОЛИТИПА 4Н

М. М. Аникин, П. А. Иванов, В. П. Растегаев, Н. С. Савкина,  
А. Л. Сыркин, В. Е. Челноков

Физико-технический институт им. А. Ф. Иоффе Российской академии наук,  
Санкт-Петербург, Россия  
(Получена 15.05.1992. Принята к печати 26.06.1992)

Впервые изготовлен и исследован полевой транзистор на основе карбida кремния политипа 4Н. Транзистор — *n*-канальный, с затвором в виде  $p^+$ —*n*-перехода. Выходные характеристики хорошо соответствуют модели «плавного» канала, разработанной Шокли для полевого транзистора обедненного типа. Проведено сопоставление электрических параметров с параметрами аналогичного транзистора на основе карбida кремния политипа 6Н: при сравнимых величинах управляющего поля затвора транзистор на SiC-4Н превосходит по крутизне транзистор на SiC-6Н за счет большей удельной электропроводности канала.

**Введение.** Карбид кремния как широкозонный полупроводник, обладающий высокими значениями напряженности поля лавинного пробоя ( $E_b = 2\text{--}6 \text{ МВ/см}$ ), насыщенной скорости дрейфа электронов ( $v_s = 2\cdot 10^7 \text{ см/с}$ ) и теплопроводности ( $\kappa = 2\text{--}5 \text{ Вт/см}\cdot\text{град}$ ), представляет большой интерес для создания на его основе мощных дрейфовых СВЧ приборов и, в частности, полевых транзисторов [1].

Из множества отличающихся по свойствам политипных форм SiC до недавнего времени наиболее воспроизводимую технологию имел гексагональный политип 6Н. На основе этого политипа к настоящему времени созданы высокотемпературные полевые транзисторы (ПТ) разных модификаций [2]. Если рассматривать перспективы ПТ с легированным *n*-каналом на основе других политипов SiC, то, как видно из табл. 1, более предпочтительными могут оказаться формы 3С и 4Н, обладающие изотропной электропроводностью, большими величинами низкopolевой подвижности электронов и меньшими значениями энергии ионизации легирующих донорных примесей. Однако для кубического карбida кремния 3С до сих пор не разработана технология выращивания монокристаллов достаточно больших размеров, а те гетероэпитаксиальные пленки, которые выращиваются газотранспортным методом (CVD-эпитаксия) на кремнии и карбиде кремния политипа 6Н, содержат много дефектов. SiC-4Н находится в более выгодном положении, поскольку для этого гексагонального политипа существует способ выращивания объемных монокристаллов [3], из которых можно вырезать пластины площадью до 2 см<sup>2</sup>.

В настоящей работе представлен изготовленный на такой подложке первый полевой транзистор на SiC-4Н.

### 1. Технология и структура транзистора

Технология изготовления, а также структура эпитаксиальных слоев и меза-конструкция транзистора с  $p^+$ —*n*-затвором и *n*-каналом (рис. 1) в принципе не отличаются от разработанных для аналогичного ПТ на SiC-

Таблица 1

Свойства 3С-, 6Н- и 4Н-политипов карбида кремния [7]

Политип	3С	6Н	4Н
Ширина запрещенной зоны $E_g$ , эВ	2.4	3.0	3.2
Эффективная масса электрона в долине $m_{de}/m_e$	0.4	0.45	0.21
Наиболее вероятное число долин $M$	3	3	6
Энергия ионизации мелких до- норов (азота) $E_D$ , мэВ	53	100	35
Коэффициент анизотропии электропроводности	1	3.7	0.9
Подвижность электронов в чистых образцах $\mu$ , $\text{см}^2/\text{В}\cdot\text{с}$	1000	300	800

6Н [4]. Гомоэпитаксиальные  $p^+$ - и  $n$ -слой последовательно выращивались методом вакуумной сублимационной эпитаксии [5] на подложке SiC-4Н с плоскостью, параллельной гексагональной оси кристалла.  $p^+$ -Слой легировался алюминием из металлического источника до концентрации не менее  $3 \cdot 10^{18} \text{ см}^{-3}$ ; толщина этого слоя составляет 10–15 мкм.  $n$ -Слой толщиной 1.5–2 мкм специально не легировался: концентрация нескомпенсированных доноров в нем порядка  $10^{17} \text{ см}^{-3}$  достигалась за счет остаточного азота в реакционной камере. Для изготовления омических контактов к истоку  $S$ , стоку  $D$  и затвору  $G$  проводилась двухступенчатая вакуумная металлизация: тонкий контактный слой молибдена наносился электронно-лучевым испарением (с последующим вжиганием при температуре 1600 °C), защитный слой алюминия — магнетронным распылением. Изготовленные фотолитографией и химическим травлением контактные площадки служили маской при формировании меза-структурь ПТ реактивным ионным травлением в плазме SF<sub>6</sub> — методом, который обеспечивает высокую селективность травления SiC по отношению к алюминию [6]. В показанной на рис. 1 структуре ПТ каналом служит  $n$ -слой, вытравленный на необходимую глубину между истоком и стоком, затвором —  $p^+$ — $n$ -переход, слой пространственного заряда которого может отсекать канал у его поверхности. Исследованный транзистор имеет длину канала (расстояние исток—сток)  $L = 21$  мкм, общую площадь  $p^+$ — $n$ -перехода  $s = 0.55 \cdot 0.28 \text{ мм}^2$ , ширину канала (периметр стоковой площадки)  $Z = 0.7$  мм.

## 2. Проводимость канала при малых напряжениях сток—исток

В линейном режиме ПТ с  $p^+$ — $n$ -затвором представляет собой управляемый резистор: проводимость  $n$ -канала модулируется напряжением  $V_{GS}$ , приложенным к затвору относительно истока. Принцип модуляции — геометрический: приращение напряжения  $dV_{GS}$  вызывает распространение слоя объемного заряда (СОЗ) резкого асимметричного  $p^+$ — $n$ -перехода в глубь канала, так что изменение толщины его проводящей части на  $dh$  приводит к соответствующему изменению проводимости на величину  $dG_{DS} = -\sigma (Z/L) dh$ , где  $G_{DS}$  — проводимость канала при малых напряжениях сток—исток  $V_{DS}$ ;  $h$  — толщина СОЗ;  $\sigma$  — удельная проводимость канала, которая может зависеть от  $h$ . Непосредственную информацию о толщине СОЗ как области, обедненной подвижными электронами, дает изменение дифференциальной емкости  $p^+$ — $n$ -перехода  $C$ :  $h = \epsilon S/C$ , где  $\epsilon$  —

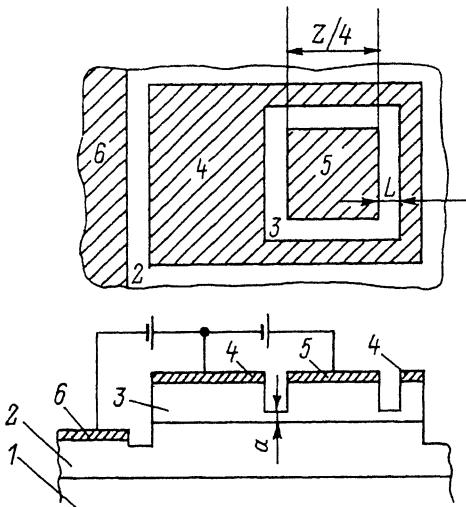


Рис. 1. Схематическое изображение структуры ПТ на SiC-4H. 1 — подложка SiC-4H, 2 —  $p^+$ -слой, 3 —  $n$ -слой, 4 — исток, 5 — сток, 6 — затвор.

диэлектрическая проницаемость полупроводника. Таким образом, характер изменения проводимости канала в зависимости от толщины СОЗ можно получить так называемым  $G$ -С-методом, измеряя  $C-V_{GS}$ - и  $G_{DS}-V_{GS}$ -характеристики.

Вольт-фарадная характеристика  $p^+-n$ -перехода, измеренная мостовым методом на частоте 1 кГц и построенная в координатах  $C^{-2}-V$ , линейна (рис. 2). Наклон этой зависимости позволяет определить концентрацию нескомпенсированных доноров в  $n$ -слое:  $N_D - N_A = 1.3 \cdot 10^{17} \text{ см}^{-3}$ . Заметим, что экстраполированное к  $C^{-2} = 0$  напряжение

отсечки  $V_0$  близко по величине к диффузионной разности потенциалов  $p-n$ -перехода на основе SiC-4H, легированного алюминием и азотом ( $V_{bi} = 2.9$  В).

Для исследованного транзистора проводимость канала  $G_{DS}$ , измеренная на постоянном токе при  $V_{DS} = 50$  мВ, оказалась линейной в зависимости от толщины СОЗ  $h$ . Из полученной зависимости (рис. 3) можно заключить следующее:

- величины сопротивлений омических контактов истока и стока, а также толщи  $n$ -слоя под истоковым и стоковым выступами пренебрежимо малы по сравнению с сопротивлением открытого канала;

- удельная проводимость равномерна по толщине канала:  $\sigma = 5.3 \text{ (Ом}\cdot\text{см})^{-1}$ ;
- при пороговой толщине СОЗ  $h_T = a = 0.43 \text{ мкм}$  ( $a$  — толщина канала) наступает отсечка канала, так что его проводимость становится близкой к нулю; соответствующее пороговое напряжение затвор-исток  $V_T$  составляет  $\approx -19$  В.

По измеренным величинам концентрации доноров  $N_D - N_A$  и удельной проводимости  $\sigma$  можно оценить нижний предел дрейфовой подвижности электронов в канале изготовленного ПТ, предполагая отсутствие компенсации доноров ( $N_A = 0$ ). Для расчета концентрации электронов  $n$  воспользуемся следующими данными работы [7]: энергия ионизации донорных атомов азота  $E_D = 35$  мэВ, плотность состояний в зоне проводимости  $N_c = 1.3 \cdot 10^{19} \text{ см}^{-3}$  (эффективная масса электрона в долине  $m_{de} = 0.2m_e$ , число долин  $M = 6$ ). Из статистики электронов для невырожденного некомпенсированного полупроводника получим:  $n = 1.1 \cdot 10^{17} \text{ см}^{-3}$  ( $T = 293$  К), что дает для дрейфовой подвижности значение  $\mu = 300 \text{ см}^2/\text{В}\cdot\text{с.}$

### 3. Выходные характеристики

Первой аналитической моделью полевого транзистора была модель Шокли [8], предназначенная для длинноканальных ПТ ( $L \gg a$ ). Количественный критерий отношения  $L/a$ , достаточный для применимости этой модели, оценивается как  $L/a > 0.7 \mu E_p/v_s$  [1], где  $E_p = q(N_D - N_A)a/\epsilon$  — максимальная величина напряженности поля, которое возникает в СОЗ  $p^+-n$ -перехода при отсечке канала. Для исследуемого ПТ указанный критерий выполняется:  $L/a = 50$ , а  $0.7 \mu E_p/v_s = 11$  ( $\mu = 300 \text{ см}^2/\text{В}\cdot\text{с.}$ ,  $E_p = 1 \text{ МВ/см}$ ,  $v_s = 2 \cdot 10^7 \text{ см}/\text{с.}$ ).

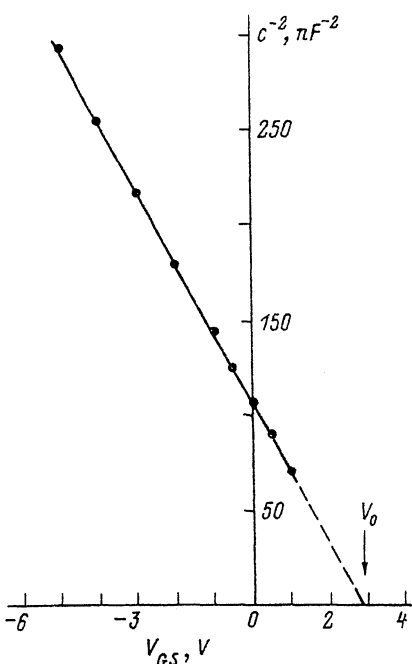


Рис. 2. Вольт-фарадная характеристика управляющего  $p^+$ — $n$ -перехода. Частота измерительного сигнала 1 кГц, исток и сток закорочен.

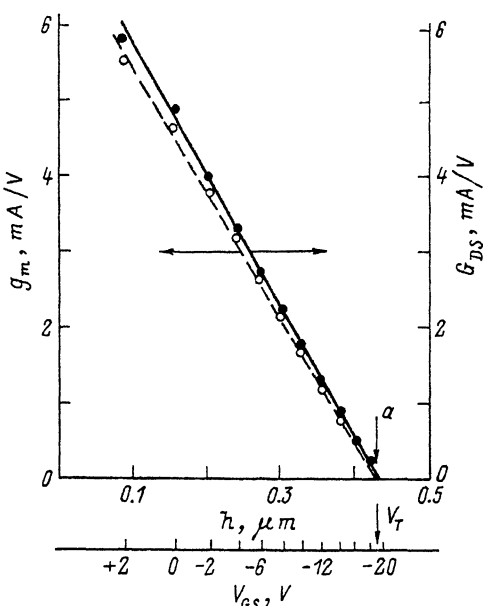


Рис. 3. Зависимости проводимости канала  $G_{DS}$  (при малом напряжении сток—исток) и крутизны характеристики передачи  $g_m$  (на участке насыщения тока стока) от напряжения затвор—исток  $V_{GS}$  и толщины СОЗ  $h$  в истоковой области.

Семейство выходных характеристик транзистора, снятых с экрана харктерографа Л2-56, показано на рис. 4. Характер зависимостей  $I_D—V_{DS}$  (при фиксированных  $V_{GS}$ ) и  $I_D—V_{GS}$  (на участке насыщения  $I_D$ ) соответствует главным выводам теории Шокли:

— во-первых, ток стока стремится к насыщению при напряжениях сток—исток, близких к разности величин порогового напряжения и напряжения, приложенного к затвору;

во-вторых, крутизна характеристики передачи ( $g_m$ ), измеренная на участке насыщения тока стока, близка по величине к проводимости канала, измеренной при малых напряжениях сток—исток (рис. 3).

Таблица 2

Сравнение электрических параметров ПТ на основе карбида кремния политипов 6Н [4] и 4Н

Политип	6Н	4Н
Максимальный ток стока, мА ( $V_{DS} = 60 \text{ В}$ , $V_{GS} = +2 \text{ В}$ )	20	50
Максимальная крутизна, мА/В ( $V_{DS} = 60 \text{ В}$ , $V_{GS} = +2 \text{ В}$ )	2.8	5.5
Максимальное напряжение сток—затвор, В	90	100
Пороговое напряжение, В	-14.5	-19.2
Концентрация некомпенсированных доноров в канале, $10^{17} \text{ см}^{-3}$	4.0	1.3
Максимальное управляющее поле в СОЗ затвора, МВ/см	1.6	1.0
Длина канала, мкм	10	21
Ширина канала, мм	0.4	0.7
Максимальная крутизна, приведенная к длине канала 10 мкм и ширине канала 1 мм, мА/В	7.0	16.5

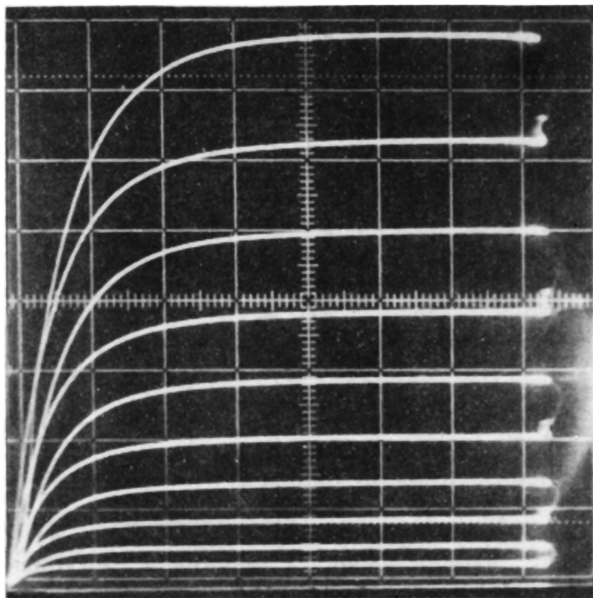


Рис. 4. Выходные характеристики ПТ на SiC-4H. Цена деления по вертикали (ток стока) — 5 мА, по горизонтали (напряжение сток—исток) — 10 В. Напряжение к затвору приложено ступенями через — 2 В (верхняя кривая соответствует нулевому напряжению).

Представляет интерес сравнить параметры ПТ, изготовленного на SiC-4H, с параметрами аналогичного транзистора на SiC-6H (табл. 2). Для сравнения выберем максимальную крутизну, нормированную на отношение ширины канала к его длине:  $g^* = g_m L / Z$ . При этом нетрудно убедиться, что для ПТ Шокли крутизна  $g^*$  прямо пропорциональна степени ионизации доноров в канале  $k = n / (N_D - N_A)$ , дрейфовой подвижности электронов  $\mu$  и, что очень важно, величине управляющего поля затвора  $E_p$ :  $g^* = q\mu n a = k e \mu E_p$ . Отметим, что, поскольку возможность увеличения поля  $E_p$  [путем увеличения числа доноров на единицу площади канала  $(N_D - N_A) a$ ] ограничена напряженностью поля пробоя  $E_b$ , важным критерием качества полупроводника для ПТ является параметр  $\mu E_b$ , имеющий размерность скорости. В частности, высокая подвижность электронов в SiC-3C в определенном смысле теряет свое значение, поскольку для SiC-3C следует ожидать меньшей, чем для гексагональных политипов, величины поля пробоя (по причине более простой зонной структуры). Представленный на ПТ SiC-4H, немножко уступая на ПТ SiC-6H по величине поля  $E_p$ , превосходит его по параметру  $g^*$  за счет большей подвижности электронов и большей степени ионизации доноров.

#### СПИСОК ЛИТЕРАТУРЫ

- [1] П. А. Иванов, Б. В. Царенков. ФТП, 25, 1913 (1991).
- [2] P. A. Ivanov, V. E. Chelnokov. Semicond. Sci. Techn., 7, 1 (1992).
- [3] Н. А. Городецкая, М. Х. Ким, В. П. Растегаев, Ю. М. Таиров, В. Ф. Цветков. В кн.: Расширенные тезисы VIII Всес. конф. по росту кристаллов, 23. Харьков (1992).
- [4] М. М. Аникин, П. А. Иванов, А. Л. Сыркин, Б. В. Царенков, В. Е. Челноков. Письма ЖТФ, 15, 36 (1989).
- [5] М. М. Аникин, Н. В. Гусева, В. А. Дмитриев, А. Д. Сыркин. Изв. АН СССР, Сер. Неогр. Матер., 20, 1768 (1984).
- [6] И. В. Попов, А. Л. Сыркин, В. Е. Челноков. Письма ЖТФ, 12, 240 (1986).

- [7] Ю. А. Водаков, Г. А. Ломакина, Е. Н. Мохов, В. Г. Одинг, В. В. Семенов, В. И. Соколов. В кн.: Матер. II Всес. совещ. «Проблемы физики и технологии широкозонных полупроводников», 164. Л. (1979).
- [8] С. Зи. Физика полупроводниковых приборов, т. 1, 455. М. (1984).

Редактор Л. В. Шаронова

---